

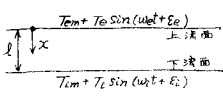
III-48 アーチダムの 周期的な 温度応力の解析

電力技研 林 正夫

§1. アーチダムの温度応力の問題点は2つに大別でき、(A)打設後の硬化熱の発生による問題。セメントの熱特性、セメント使用量、つきめ間隔、施工速度、時期、プレタリングポストトーリングの要不必要、つきめグラウトの時期、以上の総合として硬化熱によるひずみを避けうるや否やという問題となる。(B)外部の気温、貯水温の周期的変動により温度応力を生じる。収縮つきめグラウト時以降の内部温度降下量を設計量とするとは Critical Condition にて正しい。しかし近年ダムの実測技術の進歩に伴い、各種の測定値が得られ出しあが、設計計算書をどうひくって見ても解説を兼ねる結果に出くわす。これは Actual Condition といつて実測値と Critical Condition といつて設計値のちがいであり当然のことである。各種の Actual condition を順次解明、消去し、その結果にて始めて Critical Condition といつてダムの安定性を論ずるところに至るのであらう。このような意味で Actual conditions の問題のひとつとして所題のテーマが浮上してくる。その近似的な解法と数値計算の一例を述べ、従来内部温度の平均値のみを用いたり、線型遷移した上下流内部温度分布もあわせ考慮した。

§2. 貯水温 $T_e = T_{em} + T_e \sin(wet + E_e)$ 、下流面気温 $T_l = T_{lm} + T_l \sin(wlt + E_l)$ なる周期的変動によると堤体内部温度 $\theta(x,t)$ 、この $\theta(x,t)$ なる非線型内部温度分布と静力学的に等価な線型分布 $\bar{\theta}(x,t)$ の置換。熱は上下流方向へ移動が支配的と考え。初期条件をつきめグラウト時の温度分布 θ_0 、厚さ l 、温度伝達率 K とすると、Duhamml 定理を使ふ。

$$\left\{ \begin{aligned} \theta(x,t) &= \frac{2}{l} \sum_{n=1}^{\infty} e^{-kn^2 \pi^2 t / l^2} \sin \frac{n\pi x}{l} \int_0^l f(x') \sin \frac{n\pi x'}{l} dx' + \frac{2}{\pi} \sum_{n=1}^{\infty} \frac{T_m \cos n\pi - T_{em}}{n} \sin \frac{n\pi x}{l} e^{-kn^2 \pi^2 t / l^2} + T_{em} + (T_m - T_{em}) \frac{x}{l} \\ &+ \frac{2\pi K}{w_e l^2} \sum_{n=1}^{\infty} n e^{-kn^2 \pi^2 t / l^2} \sin \frac{n\pi x}{l} \left[\frac{-T_e}{1 + \frac{n^2 \pi^2 K^2}{w_e l^2}} \left(\frac{K n^2 \pi^2}{w_e l^2} \sin E_e - \cos E_e \right) \right] + \frac{2\pi K}{w_e l^2} \sum_{n=1}^{\infty} n e^{-kn^2 \pi^2 t / l^2} \sin \frac{n\pi x}{l} \left[\frac{T_e \cos n\pi}{1 + \frac{n^2 \pi^2 K^2}{w_e l^2}} \left(\frac{K n^2 \pi^2}{w_e l^2} \sin E_l - \cos E_l \right) \right] \\ &+ T_e 2\pi^2 \left(\frac{K}{w_e l^2} \right)^2 \sum_{n=1}^{\infty} \frac{n^3}{1 + n^2 \pi^2 \left(\frac{K}{w_e l^2} \right)^2} \sin \frac{n\pi x}{l} \sin(wet + E_e) - T_e 2\pi \left(\frac{K}{w_e l^2} \right) \sum_{n=1}^{\infty} \frac{n}{1 + n^2 \pi^2 \left(\frac{K}{w_e l^2} \right)^2} \sin \frac{n\pi x}{l} \cos(wet + E_e) \\ &- T_e 2\pi^2 \left(\frac{K}{w_e l^2} \right)^2 \sum_{n=1}^{\infty} \frac{n^3 \cos n\pi}{1 + n^2 \pi^2 \left(\frac{K}{w_e l^2} \right)^2} \sin \frac{n\pi x}{l} \sin(wlt + E_l) + T_l 2\pi \left(\frac{K}{w_e l^2} \right) \sum_{n=1}^{\infty} \frac{n \cos n\pi}{1 + n^2 \pi^2 \left(\frac{K}{w_e l^2} \right)^2} \sin \frac{n\pi x}{l} \cos(wlt + E_l) \end{aligned} \right.$$



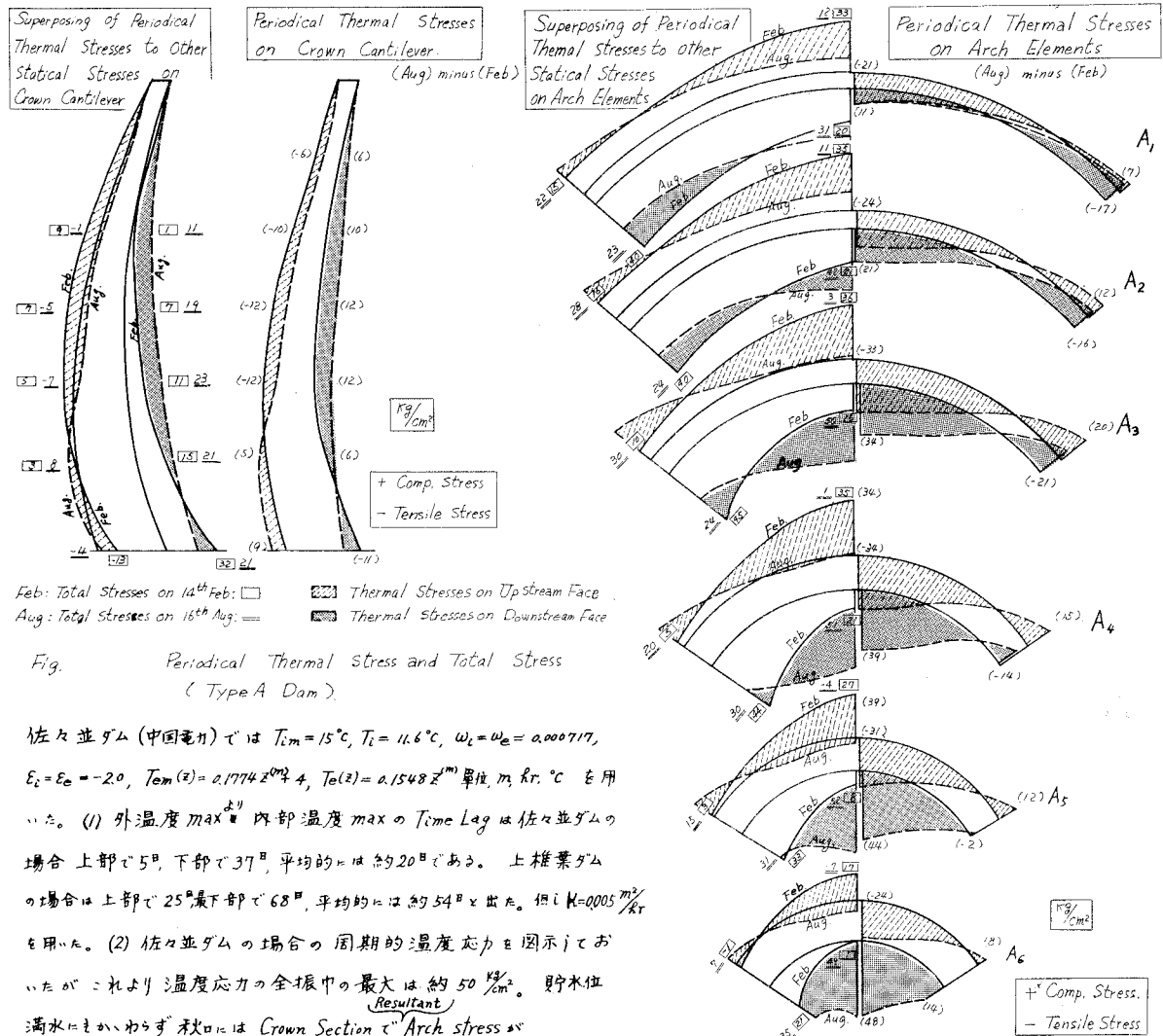
温度応力を応用力學的に取り扱うために、平面保持の仮定に立つ。 θ の面積 θ_A 、中心軸に垂直するモーメント θ_M が等しい条件より、非線型分布 $\theta(x,t)$ を線型分布 $\bar{\theta}$ に置換することにする。周期的問題を論ずるために $\theta(x,t)$ の過渡現象を一応、除いて考える。式を整理すると、

$$\left\{ \begin{aligned} \theta_A &= \frac{l}{2} (T_{em} + T_{el}) + T_{el} \sqrt{A_A^2 + B_A^2} \sin(wet + E_e - \phi_e) + T_{el} \sqrt{C_A^2 + D_A^2} \sin(wlt + E_l - \phi_l) \quad \therefore \phi_e = \tan^{-1}\left(\frac{B_A}{A_A}\right), \quad \phi_l = \tan^{-1}\left(\frac{D_A}{C_A}\right), \\ A_A &= 2\pi^2 \left(\frac{K}{w_e l^2} \right)^2 \sum_{n=1}^{\infty} \frac{n^2 (1 - \cos n\pi)}{1 + n^2 \pi^2 \left(\frac{K}{w_e l^2} \right)^2}, \quad B_A = 2 \left(\frac{K}{w_e l^2} \right) \sum_{n=1}^{\infty} \frac{(1 - \cos n\pi)}{1 + n^2 \pi^2 \left(\frac{K}{w_e l^2} \right)^2}, \quad C_A = 2\pi^2 \left(\frac{K}{w_e l^2} \right)^2 \sum_{n=1}^{\infty} \frac{n^2 \cos n\pi (1 - \cos n\pi)}{1 + n^2 \pi^2 \left(\frac{K}{w_e l^2} \right)^2}, \quad D_A = 2 \left(\frac{K}{w_e l^2} \right) \sum_{n=1}^{\infty} \frac{\cos n\pi (1 - \cos n\pi)}{1 + n^2 \pi^2 \left(\frac{K}{w_e l^2} \right)^2}, \\ \theta_M &= \frac{l^2}{12} (T_{em} - T_{el}) - T_{el} l^2 \sqrt{A_M^2 + B_M^2} \sin(wet + E_e - \phi_{Me}) + T_{el} l^2 \sqrt{C_M^2 + D_M^2} \sin(wlt + E_l - \phi_{Ml}) \quad \therefore \phi_{Me} = \tan^{-1}\left(\frac{B_M}{A_M}\right), \quad \phi_{Ml} = \tan^{-1}\left(\frac{D_M}{C_M}\right), \\ A_M &= \pi^2 \left(\frac{K}{w_e l^2} \right)^2 \sum_{n=1}^{\infty} \frac{n^2 (1 + \cos n\pi)}{1 + n^2 \pi^2 \left(\frac{K}{w_e l^2} \right)^2}, \quad B_M = \left(\frac{K}{w_e l^2} \right) \sum_{n=1}^{\infty} \frac{(1 + \cos n\pi)}{1 + n^2 \pi^2 \left(\frac{K}{w_e l^2} \right)^2}, \quad C_M = \pi^2 \left(\frac{K}{w_e l^2} \right)^2 \sum_{n=1}^{\infty} \frac{n^2 (1 + \cos n\pi)}{1 + n^2 \pi^2 \left(\frac{K}{w_e l^2} \right)^2}, \quad D_M = \left(\frac{K}{w_e l^2} \right) \sum_{n=1}^{\infty} \frac{(1 + \cos n\pi)}{1 + n^2 \pi^2 \left(\frac{K}{w_e l^2} \right)^2}, \end{aligned} \right.$$

線型置換後の平均温度は $\bar{\theta}_m = \frac{\theta_A}{l}$ 、上下流温度差は $\Delta\bar{\theta} = \bar{\theta}_e - \bar{\theta}_l = 12 \frac{\theta_M}{l^2}$ である。

§3. 弾性固定円弧アーチの温度応力の解析 (厚さ T 、中心線半径 R_c 、中心角 $2\phi_A$ 、温度膨脹係数 C 、温度差分布 $\bar{\theta} = \bar{\theta}_m + \frac{\Delta\bar{\theta}}{l}(x - \frac{l}{2})$)、弾性の都合で、結果だけを示す。アーチクラウンは不静定量とも Bureau of Reclamation 方式で解き計算も同じ意味にはすと、てが厚さ方向のみの関数の場合は $D_1 = -c \Delta\bar{\theta} \frac{T_c - \phi_A}{T} \phi_A$ 、 $D_2 = -c \bar{\theta}_m T_c \operatorname{vers} \phi_A - c \Delta\bar{\theta} T_c \frac{T_c}{T} \operatorname{vers} \phi_A$ 、 $D_3 = c \bar{\theta}_m T_c \sin \phi_A - c \Delta\bar{\theta} T_c \frac{T_c}{T} (\phi_A - \sin \phi_A)$ とするなどして、不静定量を解くことができる。従来は $\Delta\bar{\theta}$ については考えていかなかつたが、筆者は各種の数表をつくつては、三次元的にアーチダムの計算の場合の $\Delta\bar{\theta}$ 分の影響をもじらべた。(田各) 变断面を持ったアーチ(2)によつて $\Delta\bar{\theta}$ は $\sum \sum \frac{C \bar{\theta} T}{T(x)}$ $\Delta x \Delta z$ である。

§4. アーチダムとじての三次元的な温度応力の解析。アーチおよび壳持壁の $\bar{\theta}_m$ 、 $\Delta\bar{\theta}$ による温度タクミをもとめておき、同様に Self Balancing Load (内力荷重) によるタクミを求めておき、温度、内力荷重の組合せにより、変形の一義性の条件から内力荷重の大きさが決定でき、三次元的アーチダムとじての温度応力を求めよう。筆者は上椎葉ダム、佐々並ダム、樋原坂崎ダムの三例について、各ダムサイトの気象観測記録より、とりあえず年同期の温度振動を対象とし



佐々並ダム(中国電力)では $T_{im}=15^{\circ}\text{C}$, $T_i=11.6^{\circ}\text{C}$, $\omega_i=\omega_e=0.000717$, $E_i=E_e=-2.0$, $T_{em}(z)=0.1774 z^{0.74}$, $T_e(z)=0.1548 z^{0.74}$ 單位: m, hr, °C を用いた。(1) 外温度 max と 内部温度 max の Time Lag は 佐々並ダムの場合 上部で 5^日, 下部で 37^日, 平均的には約 20^日である。上椎葉ダムの場合は上部で 25^日, 下部で 68^日, 平均的には約 54^日と出た。但し $K=0.0005 \frac{m^2}{hr}$ を用いた。(2) 佐々並ダムの場合の周期的温度応力を図示しておいたがこれより 温度応力の全振巾の最大は約 50 $\frac{kg}{cm^2}$ 。貯水位満水にまかわらず 水口には Crown Section で Arch stress と

上流面 tension, 下流面 Comp にまかわらず 充分に予想できる。また Feb: Total Stresses on 14th Feb: □ Aug: Total Stresses on 15th Aug: — やち 普通の設計計算の Critical Condition と全く逆傾向でしかもその最大値が設計値に略近くなりうる(右図下部の A-4 参照)。

(3) アバットメントにおいても、水口には満水状態にまかわらず、下流面より上流面の圧縮応力の方が大きいことがありうる。(4) 鋼直方向応力については、水口には満水状態にまかわらず、上流面基底部の鉄直応力は Comp. 側に移る(約 13 $\frac{kg}{cm^2}$) (5) 以上は 佐々並ダムの場合の概観である。上椎葉ダムについてはも同様を検討を加えだが紙面の都合で別な機会に発表したい。佐々並ダムの場合に比し、ダムが厚いために、次の様な大きな差異が佐々並ダムとの比較において見受けられる。(a) 温度変化量は略ひといにも拘らず厚いために 温度応力の全振巾の最大は約 25 $\frac{kg}{cm^2}$ 。(b) 厚いために 内部温度分布の非線型の影響が大きく、従来の設計においては考慮しておらず ΔT の影響の方が卓越する傾向がある。(6) 温度変化によるダムのタフミは多數の実測結果が出ているが、本計算では $E_c=E_R=300,000 \frac{kg}{cm^2}$ と仮定すと佐々並ダムの場合 max 約 30 mm, 上椎葉ダムの場合 約 31 mm と出た。他の Statical load によるとタフミはそれに約 13 mm, 約 30 mm である。今後 応力、タフミその他 実測値との比較検討を行いたい。

Feb: Total Stresses on 14th Feb: □ Aug: Total Stresses on 15th Aug: —

Fig. Periodical Thermal Stress and Total Stress (Type A Dam)